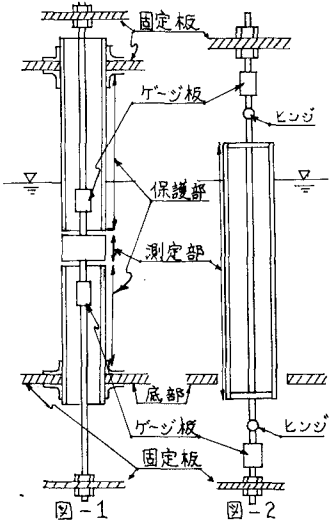


大阪大学工学部 正員 風不 亨
大阪大学工学部 学生員 ○中村秀幸
大阪大学工学部 学生員 善田 浩

1. 本研究は既に著者等は、円柱に作用する波力算定において、Morison波力式に含まれる係数の不確定性を指摘し、規則波、不規則波を用いてその係数の研究を進めてきた。本年度では、特に慣性力の支配的となる場合について取り扱ってみたが、これに就き本報では、抵抗力の支配的、あるいは抵抗力と慣性力との同程度の場合について抵抗力係数 C_d と慣性係数 C_m の水理学的特性を、円柱の全波力及びその特性の明確となる局部波力の2面から検討してみた。また、Biddle(1)、円柱に作用する揚力(波向に直交する力)が既來研究されていいる波向方向力(抵抗力、慣性力)に対して異様でない程度の大きさを示し、その変動周波数も波の2倍となることを指摘しているが、測定結果が不規則となる $K-C$ 数 ≈ 1 以上の実際の構造物に対応する領域ではまだその特性は不明確であり、この領域で局部、全波揚力を測定してその特性を併せて検討した。

2. 実験装置と実験方法 波力測定用円柱には、外径2.4cm、4.2cmの直ピアノ管を用いた。局部波力測定装置は図-1に示すものを行い、局部波力測定部(長さ5cm)とその上下の保護部分からなり、保護部分に作用する波力が測定部に影響を与えないようそれぞれが独立して系に付いている。全波波力測定装置は、図-2に示すもので、2つのヒンジ板を波力測定円柱の上下部に有する直角端固定架と下っており、上下の片持架部にはりつけてある垂ゲージを介して波力を上下の2成分に分離して測定する構造になっている。この場合、上下ヒンジ板が互にその相対位置を保つていかなければ検討する必要があり、本実験では同一水平荷重をその作用点を鉛直方向に変化させても上下の垂ゲージを介してその成分和が同一となるかで検定し、十分な精度で一致することを確認した。また、シヘリ装置の測定方向力に直交する力に忾する感度は、局部測定装置で1/5、全波装置で1/40程度であり、波向方向力、揚力の測定は十分に行えるものと考える。波力計のキャリブレーションは局部装置での部分中心に、全波装置で両ヒンジ板間中心に滑車を介して水中で足踏荷重錠(局部装置5.3kg、全波装置17.6kg)を5t、漸増させて行なった。波力計の水中国有振動数は、局部装置で22Hz、全波装置で25Hzであり、周波数の比較的高い揚力測定も十分に行えると推定した。局部波力測定は、波向方向力、揚力ともに静水面より+55~-10.5cmと-13.9~-18.9cmに部分円柱が位置する2箇所で測定した。波高測定は、円柱横と岸側2ヶ所で行なった。水深は、25cmに保持し、作用せしめられた波条件は、周期Tは0.9秒より1.0秒、海に1.5秒まで7種類、波高Hは5cm~10cmまでの3種類である。



3. 実験結果とその考察 波向方向の力(抵抗力、慣性力)については、微小振幅波理論を仮定し、モリソンの波力式から C_d, C_m を(1式)、(2式)により局部、全波円柱について算定した。ここで、 F_{oe}, F_{re} は、それぞれ実測波力記録

$$C_d = 2F_{oe}/(\rho D^2 \int_{z_1}^{z_2} U dz) \quad (1) \quad C_m = 4F_{re}/(\rho \pi D^2 \int_{z_1}^{z_2} \frac{U}{2} dz) \quad (2)$$

よりそれぞれ波峰、谷と静水面位相で読み取った実測抵抗力、慣性力である。全波円柱について波力積分範囲 z_1 ~ z_2 は、底部より変動水面距離 $+z$ とした。また、 $K-C$ 数、Reynold数を算定するための水粒子水平速度 U には局部波力、全波波力共に、波力測定部にわたって、その U と $r.m.s.$ 値を用いた。慣性係数 C_m については、 $K-C$ 数、周期TをパラメータにしてRe数プロットを行なった。いずれの場合に対しても $Re \cdot KC$ 数に關係なく 0.2 程度の変動率を有するがほぼ一定とみなされる。しかしながらその値はパラメータによって異なり、径24cmの円柱では

全体円柱で $C_H \approx 2.6$, 部分円柱下部位置で $C_H \approx 3.3$, 上部位置で $C_H \approx 2.7$, 陸 4.2 全体円柱で $C_H \approx 2.2$ といふ値を示す。この後の相異に下る C_H の値の異なりの原因はまだ明確でないが渦の巻き等の乱れを示す K-C 数に関係なく一定となるため、これは渦の掃き出し等が特に波の峰、谷の位置で生じるために推定されるが、他のパラメーター、例えはパイプ径と水深等の比によつて C_H は変動するのではないか。
抗力係数 C_D についても、K-C 数、Re 数プロットを行つた。Re 数は $2 \times 10^4 \sim 9 \times 10^4$ の範囲であり、この領域の一様流れでの $C_D \approx 1.0$ 付近であるが、 $D = 4.2$ cm の全体円柱の C_D 以外はかなりバラつきがある。これらを K-C 数プロットしたのが図-3であり、Keulegan 等により指摘された K-C 数が 10 付近で K-C 数の増大と共に C_D が増大する傾向が局部円柱、全体円柱の両方に見られ、K-C 数 6 付近までの後流域乱れの小さな領域では一様流れ中の C_D 値の近傍になつてゐる。このことは、渦の掃き出しと直接に関連していふ揚力と波向方向力の比を示した図-2 で K-C 数が 6 付近までは、その比が小さく、揚力も乱れの影響を受けてない事が推定される。
 C_D 値の鉛直特性は、本実験によりて見

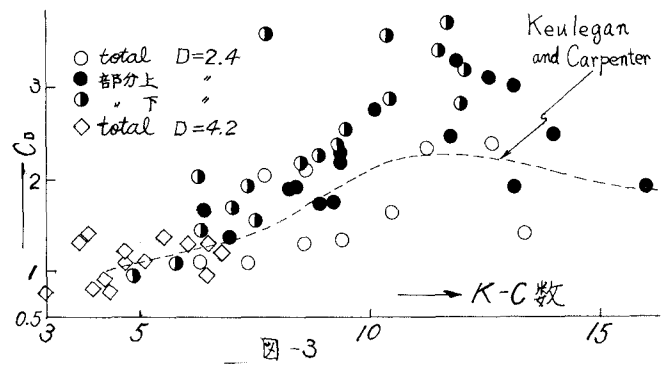


図-3

図-4

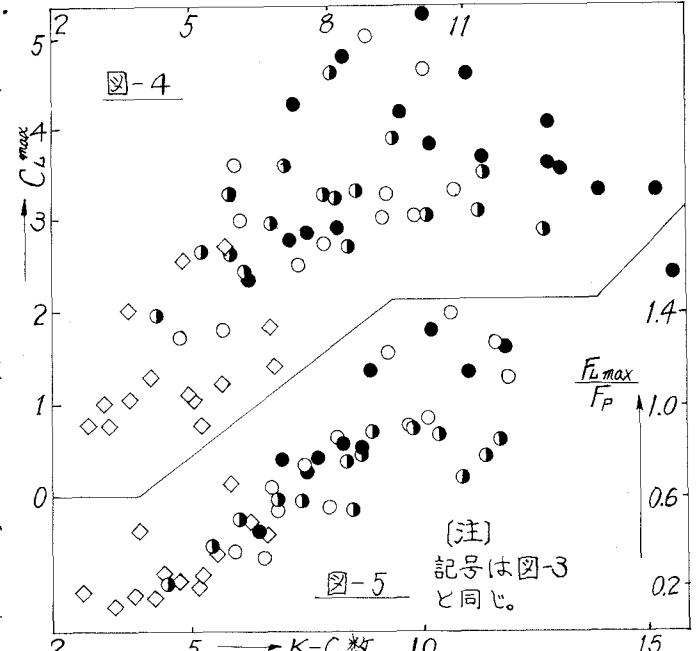


図-5

(注)
記号は図-3
と同じ。

られず、K-C 数に下る変動のみであるが、全体円柱の C_D 値と比較すると局部揚力より算定した値の大きさ ≈ 1.13 。シート状局部揚力を半水深以上的位置で行つて 1.13 ため、渦の掃き出し等の影響を大きく受けやすいことによると思われる。揚力については、Beddoe により渦の掃き出しに直接関連してなることが指摘されており、木製面の K-C 数が 5 以上の場合にかけり不規則な状況を示してくる。本研究では水面 K-C 数は 5 以上と定めており、揚力記録は不規則な変動と定めているため、zero-up-Cross 法にて $F_L / 100$ が極大揚力を波峰、谷の位置に出現する方向のみについて読みとく。最大揚力と $1/10$ 有義極大揚力についての式にて揚力係数 C_L を求め、その内 $C_{L\max}$ を K-C 数に対して図-4 に示した。これによりて K-C 数の増大と共に $C_{L\max}$ が増大しており、K-C 数が 10 付近で極値をもつて 1.13。鉛直特性としては、K-C 数 > 10 の領域では、水面付近の方が大きさ ≈ 1.13 といふ。これらの値は、平均極大揚力について求めた Chang の C_L と比較するとかけり大きな値と TF、といふが、K-C 数の増大と共に増大する傾向は一致している。つづいて揚力の大きさを波向方向力と比較するため、最大揚力、 $1/10$ 有義極大揚力と平均極大波向方向力（波向方向力はかけり規則的であるため）の比 F_L/F_p を求め $F_{L\max}/F_p$ について図-5 に示した。この比は、K-C 数と共に増大し、K-C 数 10 付近で 1.14 に到り、平均極大揚力で求めた Beddoe の K-C 数の増大と共に増大する傾向と一致するが、その比は 2 倍と TF といふ。揚力の周波数特性を調べるために、スペクトルを求めたが、これにより F_Beddoe の波の 2 倍周波数が、揚力では卓越してくる結果と一致しているが、K-C 数の大きさが 10 付近で TF、3 倍周波数もかけりのエネルギー密度を有してきており、これらの結果について講演時に示したい。